

## Original Article



Iranian Journal of Remote Sensing and GIS

**Affiliation**

Tehran Agricultural and Natural Resources Research and Education Center, Varamin, Iran

## Determination of Optimum Geo-Morphometric Parameters to Digital Soil Map (Case Study: Tehran Province, Iran)

Mahdi Sadeghi Pour Marvi\*

**ABSTRACT**

**Introduction:** Today, geo-morphometric parameters named as environmental co-variates are used to digital soil maps, so that using these data, the results of soil tests are generalized to similar areas. For this object, finding the suitable environmental variables is of special importance. Since understanding changes in land surface processes requires comprehensive identification of the environmental variables present in it (Bishop et al., 2012), and these changes are mainly due to changes in morphology, structure, composition, passage of time, and human activities (Bishop et al., 2003), and considering the importance of selecting appropriate environmental variables to increase the accuracy in preparing a digital map using a geographic information system, this research seeks to identify and introduce these appropriate environmental variables based on data analysis and reliable statistical tests, so that digital maps with the desired accuracy can be prepared in the geographical area of Tehran province.

**Materials and Methods:** In addition, other researchers' use of the results of this study and the environmental variables introduced in it will result in the use of the same initial variables in the preparation of different digital maps, and as a result, there will be a better possibility of comparison between different digital maps. The importance of this study is that the study of these factors is important and significant, and research results in this field have not been published before in Tehran province, so they can be used by other researchers to prepare digital maps in future studies. The objective of this study was to determine the appropriate environmental data that can be used to a digital soil map of Tehran province. Data were processed and 49 environmental data were statistically analyzed included Digital Elevation Model, Analytical Hillshading, Landforms, Texture, Flow Accumulation, Protection Index, Clusters, Cross-Sectional Curvature, Longitudinal Curvature, LS Factor, Vertical Distance to Channel Network, Topographic Wetness Index, Channel Network Base Level, Valley Depth, Catchment Slope, Slope, Relative Slope Position, Drainage Basins, Closed Depression, Slope Aspect, Convergence Index, Channel Length, Multi-resolution Valley Bottom Flatness Index, Multi-resolution index of ridge top flatness, Modified Catchment Area, Output, Variance, Sunset, Sunrise, Day Length, Bands Sensor, Salinity Index, Gypsum Index, Brightness Index, Carbonate Index, Clay Index, Normalized Difference Vegetation Index. These environmental covariates were statistically analyzed and the values with the highest  $R^2$ , CV and the lowest RMSE were evaluated as favorable environmental data. Based on these results, bands 2, 3, 4 and 8 were introduced as the best bands of Landsat 8 satellite images to evaluate environmental covariates. The selection of environmental data is of special importance in the preparation of digital maps by co-kriging method, on this basis, in this study, the identification of suitable environmental data for the preparation of digital soil maps in Tehran province was targeted.

**Results and Discussion:** Based on the results of the present study, out of 49 environmental data reviewed, based on statistical analysis, 14 favorable environmental data were selected. Thus, it is concluded that in preparing a digital soil map, to ensure the accuracy of generalization of laboratory measurement results of soil samples to similar areas, DEM, Slope, CNBL, VDCN, Landforms, Texture, Valley Depth can be used, Convergence Index, MRVBF, MRRTF, TWI, Drainage Basins, Channel and Brightness Index were used as desirable auxiliary data in soil studies in the geographical area of Tehran province. This study showed consistency with previous studies in this field regarding correlation coefficients (Zeinali et al., 2016) and (Darstani Farahani et al., 2016).

**Conclusion:** In another study, bands 1 to 5 and 7 of the TM sensor were found to be suitable for preparing soil salinity maps, which was consistent with the results of this study (Zeinali et al., 2016). The results of these study use to future soil research.

**Keywords:** Environmental Covariates, Digital Map, Soil, SAGA, GIS, Tehran.

**Citation:**

Sadeghi Pour Marvi, M., Determination of Optimum Geo-Morphometric Parameters to Digital Soil Map (Case Study: Tehran Province, Iran), *Iran J Remote Sens GIS*. 17(2):171-190.

\* Corresponding Author: msadeghipour@ut.ac.ir  
DOI: <https://doi.org/10.48308/gisj.2025.230044.1138>

Received: 2023.01.02  
Accepted: 2025.04.13



Copyright: © 2025 by the authors. Submitted for possible open access publication under the terms and conditions of the Creative Commons Attribution (CC BY) license <https://creativecommons.org/licenses/by/4.0/>.

مقاله پژوهشی



## شناسایی پارامترهای ژئومورفومتری مناسب برای تهیه نقشه رقومی خاک (مطالعه موردی: استان تهران)

مهدی صادقی پور مروی\*

سمت

مرکز تحقیقات و آموزش کشاورزی و  
منابع طبیعی استان تهران، ورامین،  
ایران

**سابقه و اهداف:** امروزه، برای تهیه نقشه‌های رقومی خاک، از پارامترهای ژئومورفومتری موسوم به متغیرهای محیطی استفاده می‌شود و با استفاده از این داده‌ها، نتایج آزمون خاک به مناطق مشابه تعیین می‌باشد. بدینمنظور، یافتن متغیرهای محیطی مطلوب از اهمیت ویژه‌ای برخوردار است. ارزآجاکه در ک تغییرات در فرایندی‌های سطح زمین مستلزم شناسایی همه‌جانبه متغیرهای محیطی آن است (Bishop et al., 2012). این تغییرات اغلب از تغییر در مورفلوژی، ساختار، ترکیب، گذشت زمان و فعالیت‌های انسان ناشی می‌شود (Bishop et al., 2003) و با توجه به اهمیت انتخاب متغیرهای محیطی مناسب برای افزایش دقت در تهیه نقشه‌ای رقومی با استفاده از سامانه اطلاعات جغرافیایی، این پژوهش به دنبال شناسایی و معرفی این متغیرهای محیطی مناسب براساس تحلیل داده‌ها و برگزاری آزمون‌های آماری متغیر است تا، بر این اساس، نقشه‌های رقومی با دقت مطلوب، در محدوده جغرافیایی استان تهران تهیه شود. علاوه بر این استفاده محققان دیگر از نتایج این پژوهش و متغیرهای محیطی معرفی شده در آن موجب به کارگیری متغیرهای اولیه یکسان در تهیه نقشه‌های رقومی متفاوت می‌شود و درنتیجه، امکان مقایسه بهتری میان نقشه‌های رقومی متفاوت وجود خواهد داشت. اهمیت این پژوهش در مهم بودن بررسی این عوامل است و نتایج پژوهشی در این زمینه قبلاً در استان تهران انتشار نیافتد است؛ ازین‌رو برای تهیه نقشه رقومی در مطالعات آتی می‌توان از آنها بهره برد.

**مواد و روش‌ها:** هدف این پژوهش تعیین متغیرهای محیطی مناسبی است که بتوان از آنها برای مدل‌سازی برای تهیه نقشه رقومی خاک در استان تهران استفاده کرد. در پژوهش حاضر، باندهای تصاویر ماهواره‌ای سنجنده OLI\_TIRS و نقشه رقومی ارتفاع استان تهران با استفاده از نرم‌افزارهای جی. آی. اس. مورد پردازش اولیه قرار گرفت. ۴۹ داده محیطی، شامل مدل رقومی ارتفاع یا DEM، شاخص آنالیز تپه، شاخص شکل زمین، شاخص بافت خاک، شاخص تجمع جریان، شاخص حفاظت، Clusters، مقطع عمودی انحدار، شاخص انحنای طولی، شاخص فاکتور LS، شاخص فاصله عمودی تا شبکه کانال، شاخص خیسی توپوگرافیک، شاخص سطح پایه شبکه کانال، شاخص عمق دره، شاخص شبب حوضه آبخیز، شاخص شبب، شاخص وضعیت شبب نسبی، شاخص حوضه‌های زهکش، Closed Depression، شاخص جهت شبب، شاخص همگرایی، شاخص طول کانال، Multi-resolution Valley Bottom Flatness Index، شاخص واریانس، شاخص زمان طلوع و غروب خورشید، شاخص طول روز، شاخص حسگر باندها، شاخص شوری خاک، شاخص گچ خاک، شاخص درخشندگی، شاخص کرینات خاک، شاخص رس خاک و شاخص نرمال‌شده پوشش گیاهی، تحلیل آماری شدن و مقادیر دارای بیشترین CV و کمترین RMSE بهمنزله عوارض زمین مطلوب ارزیابی شد.

**نتایج و بحث:** براساس نتایج این پژوهش، باندهای ۱، ۲، ۳، ۴، ۵ و ۸ بهترین باندهای تصاویر ماهواره‌ای لندست-۸، برای ارزیابی متغیرهای محیطی بودند. همچنین نقشه رقومی ارتفاع، شبب، فاصله عمودی تا شبکه کانال، سطح پایه شبکه کانال، لندرفرم، بافت، طول دره، شاخص انحدار، شاخص تسطیح کف دره، شاخص تسطیح بالای پشت، شاخص خیسی توپوگرافیک، حوضه‌های زهکش، طول کانال و شاخص درخشندگی با عنوان چهارده داده محیطی مناسب برای استفاده در مدل‌سازی بهمنزله نقشه رقومی خاک معرفی شدند. این پژوهش، در زمینه ضایعه همبستگی، با پژوهش‌های قبلی در این باره هم خوانی دارد.

**نتیجه‌گیری:** در تحقیقی دیگر، باندهای ۱ تا ۵ و ۷ سنجنده TM برای تهیه نقشه شوری خاک مناسب تشخیص داده شدند که با نتایج این پژوهش هم خوانی دارد (Zeinali et al., 2016). نتایج این پژوهش برای تحقیقات آتی در زمینه خاک کاربرد دارد.

**واژه‌های کلیدی:** متغیرهای محیطی، نقشه رقومی، خاک، SAGA، GIS، تهران.

استناد:

صادقی پور مروی، م، شناسایی پارامترهای ژئومورفومتری مناسب برای تهیه نقشه رقومی خاک (مطالعه موردی: استان تهران)، نشریه سنجش از دور و GIS ایران، سال ۱۷، شماره ۲، تابستان ۱۴۰۴، ۱۴۰-۱۷۱.



**۱- مقدمه**

در صحت و دقت نقشه‌های رقومی محسب می‌شود و هر خطای در این مرحله به کاهش شاخص‌های ارزیابی آماری نقشه منجر خواهد شد (Gao et al., 2016). باید در نظر داشت متغیرهایی محیطی که بیشترین همبستگی را با عوامل تشکیل‌دهنده خاک دارند، موجب افزایش دقت در تهیه نقشه رقومی خاک خواهند شد (Weber et al., 2020; Nussbaum et al., 2018).

بر این مبنای، در پژوهشی برای ارزیابی شوری خاک، از عوامل گوناگونی همچون شاخص نرمال‌شده پوشش گیاهی (NDVI)، رس، شوری، گچ و کربنات استفاده شد (Taghizadeh-Mehrjardi et al., 2014).

در پژوهشی دیگر، برای ارزیابی ویژگی‌های شیمیایی خاک مانند pH و ظرفیت تبادل کاتیونی و ماده آلی، از عواملی همچون شبیب، TPI<sup>۱</sup>، شاخص خیسی توپوگرافیک (TWI)<sup>۲</sup>، MRVBF<sup>۳</sup> استفاده شد (Nussbaum et al., 2018).

جدول ۱ برخی متغیرهای محیطی مناسب برای رسم نقشه رقومی در منابع گوناگون را نشان می‌دهد.

امروزه از پارامترهای ژئومورفومتری، موسوم به متغیرهای محیطی، برای تهیه نقشه رقومی خاک استفاده می‌شود. عوارض زمین مستخرج از تصاویر ماهواره‌ای باید ابتدا ارزیابی آماری شوند تا بتوان از آنها در مدل‌سازی و شبیه‌سازی پدیده‌های مانند سیل، ریزگرد، و نیز در شناسایی خاک‌های شور و قلیا، تهیه نقشه رقومی حاصل خیزی خاک و مناطق نیازمند عملیات آبخیزداری استفاده کرد (Adhikari et al., 2013). این متغیرهای محیطی در تعیین الگوی نمونه‌برداری محیطی (آب، خاک، گیاه، زمین، ...)، در روش مشروط فرامکعب لاتین<sup>۴</sup>، نیز کاربرد گسترده‌ای دارد (Malone et al., 2019).

سهولت استخراج متغیرهای محیطی با استفاده از پردازش تصاویر ماهواره‌ای و دقت بالا و امکان تکرار پذیری مراحل استخراج این داده‌ها نیز از دیگر دلایل کاربرد فراوان آنها در پژوهش‌های علوم محیطی بوده است (Godinho Silva et al., 2015).

متغیرهای محیطی مناسب مرحله‌ای مهم و تأثیرگذار

جدول ۱. برخی متغیرهای محیطی مورد استفاده در منابع

متغیرهای محیطی مناسب برای رسم نقشه رقومی	منبع
Topographic Wetness Index, Normalized Difference Vegetation Index, Clay Index, Carbonate Index, Gypsum Index, Salinity Index Brightness Index	Taghizadeh-Mehrjardi et al. (2014)
slope, curvature, TPI, TWI, MRVBF	Taghizadeh-Mehrjardi et al. (2014)
Slop, Slop length, aspect, LS <sup>۵</sup> Factor, Topographic Wetness Index, Vertical Distance to Channel Network	Nussbaum et al. (2018)
precipitation, maximum temperature, and minimum temperature distance to the sea, distance to water bodies, soil type, geology, land use, rainfall, altitude, and slope	Szatmári et al. (2015)
باندهای تصاویر ماهواره TM و مادیس	Dharumarajan et al. (2022)
	Zeinali et al. (2016) & Darestani Farahani et al. (2016)

1. Conditioned Latin Hypercube Sampling
2. Normalized Difference Vegetation
3. Topographic Position Index
4. Topographic Wetness Index
5. Multi-Resolution Valley Bottom Flatness
6. Length of Slope

شاخص شیب<sup>۱۴</sup>، شاخص وضعیت شیب نسبی<sup>۱۵</sup>، شاخص حوضه‌های زهکش<sup>۱۶</sup>، Closed Depression، شاخص جهت شیب<sup>۱۷</sup>، شاخص همگرایی<sup>۱۸</sup>، شاخص Multi-resolution Valley Bottom<sup>۱۹</sup>، Multi-resolution index of ridge<sup>۲۰</sup>، Flatness Index<sup>۲۱</sup>، شاخص محدوده حوضه<sup>۲۲</sup>، شاخص خروجی<sup>۲۳</sup>، شاخص واریانس<sup>۲۴</sup>، شاخص زمان طلوع و غروب خورشید<sup>۲۵</sup>، شاخص طول روز<sup>۲۶</sup>، شاخص حسگر باندها<sup>۲۷</sup>، شاخص شوری خاک<sup>۲۸</sup>، شاخص گچ خاک<sup>۲۹</sup>، شاخص درخشندگی<sup>۳۰</sup>، شاخص کربنات خاک<sup>۳۱</sup>، شاخص رس خاک<sup>۳۲</sup> و شاخص نرمال شده پوشش گیاهی (که در جدول ۳ مطرح شده‌اند)، با استفاده از نرم‌افزار SAGA جی. آی. اس. استخراج شدند. سپس این متغیرها با استفاده از نرم‌افزار SAS ارزیابی آماری R2 و RMSE شدند و پارامترهای ضریب همبستگی و در مدل‌ها محاسبه شد. متغیرهایی با حداقل واریانس ویژگی‌ها انتخاب شد. چهار مرحله اجرای این پژوهش، شامل آماده‌سازی، پردازش، محاسبه و آنالیز متغیرهای محیطی، درآدame بیان می‌شود.

درک تغییرات در فرایندهای سطح زمین مستلزم شناسایی همه‌جانبه متغیرهای محیطی آن است (Bishop et al., 2012). همچنین این تغییرات اغلب از تغییر در مورفولوژی، ساختار، ترکیب، گذشت زمان و فعالیت‌های انسان ناشی می‌شود (Bishop et al., 2003) و انتخاب متغیرهای محیطی مناسب برای افزایش دقت در تهیه نقشه‌ای رقومی، با استفاده از سامانه اطلاعات جغرافیایی، اهمیت بسیاری دارد؛ از این‌رو این پژوهش در پی شناسایی و معرفی این متغیرهای محیطی مناسب براساس تحلیل داده‌ها و برآوردهای آزمون‌های آماری متغیر است تا، بر این مبنای نقشه‌های رقومی با دقت مطلوب در محدوده جغرافیایی استان تهران تهیه شود. علاوه‌بر این، در صورت استفاده محققان دیگر از نتایج این پژوهش و متغیرهای محیطی معرفی شده در آن، متغیرهای اولیه پیکسانی در تهیه نقشه‌های رقومی گوناگون به کار می‌رود و درنتیجه، امکان مقایسه بهتری میان این گونه نقشه‌ها پدید خواهد آمد. اهمیت این پژوهش در محدوده بودن بررسی این عوامل است و اینکه پیش‌تر در استان تهران، در این زمینه، نتایج پژوهشی انتشار نیافت و بنابراین، برای تهیه نقشه رقومی در مطالعات آتی، می‌توان از آنها بهره برد.

1. Digital Elevation Model	2. Analytical Hillshading
3. Landforms	4. Texture
5. Flow Accumulation	6. Protection Index
7. Cross-Sectional Curvature	
8. Longitudinal Curvature	
9. LS Factor	
10. Vertical Distance to Channel Network	
11. Channel Network Base Level	
12. Valley Depth	13. Catchment Slope
14. Slope	15. Relative Slope Position
16. Drainage Basins	17. Slope Aspect
18. Convergence Index	19. Channel Length
20. Output	21. Variance
22. Sunset & Sunrise	23. Day Length
24. Bands Sensor	25. Salinity Index
26. Gypsum Index	27. Brightness Index
28. Carbonate Index	29. Clay Index

## ۲- مواد و روش‌ها

در این پژوهش، متغیرهای محیطی قابل استخراج از تصاویر ماهواره‌ای و سیستم اطلاعات جغرافیایی، در محدوده جغرافیایی استان تهران، مورد پردازش اولیه قرار گرفت و براساس آنها مدل‌سازی انجام شد. ابتدا متغیرها، شامل مدل رقومی ارتفاع (DEM)<sup>۱</sup>، شاخص آنالیز تپه<sup>۲</sup>، شکل زمین<sup>۳</sup>، بافت خاک<sup>۴</sup>، شاخص تجمع جریان<sup>۵</sup>، شاخص حفاظت خاک<sup>۶</sup>، Clusters، مقطع عمودی ارتفاع<sup>۷</sup>، شاخص انحنای طولی<sup>۸</sup>، شاخص فاکتور LS<sup>۹</sup>، شاخص فاصله عمودی تا شبکه کanal<sup>۱۰</sup>، شاخص خیسی توپوگرافیک، شاخص سطح پایه شبکه کanal<sup>۱۱</sup>، شاخص عمق دره<sup>۱۲</sup>، شاخص شیب حوضه آبخیز<sup>۱۳</sup>،

اغلب در شمال و شرق دیده می‌شود و دشت‌های مسطح بیشتر در جنوب قرار گرفته است. یازده باند تصاویر ماهواره‌ای لندست-۸ (سال ۲۰۲۲)، متعلق به سنجنده OLI\_TIRS و همچنین مدل رقومی ارتفاع استان تهران در سیستم Universal Transfer Mercator (UTM) تفکیک ۵۰ متر، تعداد پیکسل ۵۴۵۶۱۵۱ و طول موج‌های مختلف، از وبسایت زمین‌شناسی امریکا (www.usgs.gov) دانلود شد. مشخصات این باندها در جدول ۲ آمده است.

### مرحله اول: استخراج متغیرها

موقعیت محل مورد نظر، در این پژوهش، محدوده جغرافیایی استان تهران است؛ شکل ۱ موقعیت جغرافیایی استان تهران در ایران را نشان می‌دهد. مکان مورد نظر در بخش‌های شمالی رشته‌کوه‌های البرز و با آب‌وهوایی معتدل قرار دارد و در بخش‌های جنوبی آن نیز که به کویر نزدیک است، اقلیم گرم‌خشک حکم فرماست. شبیه منطقه به‌طور کلی در جهت شرق‌به‌غرب است. براساس توپوگرافی آن، ارتفاعات



شکل ۱. موقعیت جغرافیایی منطقه مورد مطالعه در ایران

جدول ۲. مشخصات باندهای تصاویر ماهواره‌ای لندست-۸ سنجنده OLI\_TIRS

طول موج ( $\mu\text{m}$ )	قدرت تفکیک (بارزسازی)		قدرت تفکیک (بارزسازی)		شماره باند
	شماره باند	طول موج ( $\mu\text{m}$ )	شماره باند	طول موج ( $\mu\text{m}$ )	
۲/۳۰۰-۲/۱۰۰	۳۰	m	۷	۰/۴۵۲-۰/۴۳۳	۱
۰/۶۸۰-۰/۵۰۰	۱۵	m	۸	۰/۵۱۵-۰/۴۵۰	۲
۱/۳۹۰-۱/۳۶۰	۳۰	m	۹	۰/۶۰۰-۰/۵۲۵	۳
۱۱/۲-۱۰/۶	۱۰۰	m	۱۰	۰/۶۸۰-۰/۶۳۰	۴
۱۲/۵-۱۱/۵	۱۰۰	m	۱۱	۰/۸۸۵-۰/۸۴۵	۵
				۱/۶۶۰-۱/۵۶۰	۶

### مرحله سوم: محاسبه سایر داده‌ها

در این مرحله، با استفاده از مدل رقومی ارتفاع و یازده باند سنجنده OLI\_TIRS که در مرحله قبل آماده شده بود، ۴۹ متغیر با استفاده از نرم‌افزار GIS SAGA استخراج شد. این داده‌ها شامل X, Y (طول و عرض جغرافیایی بر حسب سیستم تصویر UTM)، ارتفاع، و یازده باند سنجنده OLI\_TIRS می‌شد که در جدول<sup>۳</sup> مشخصات این داده‌ها آمده است.

### مرحله دوم: آماده‌سازی متغیرها

فرایند آماده‌سازی متغیرهای مورد استفاده در این پژوهش (جدول ۳) در محیط سامانه جغرافیایی<sup>۱</sup> (Conrad et al., 2015) SAGA استفاده از دستور Fill Sink، مقادیر متغیرهای نامتعارف اصلاح شد و سپس متغیرهای نامتعارف، از طریق دستور Simple Filter، فیلتر شد. در مرحله نهایی نیز، با دستور نمونه‌گیری مجدد<sup>۲</sup>، اندازه پیکسل‌ها اصلاح شد و به ۵۰ متر رسید.

جدول ۳. متغیرهای مورد استفاده

منبع / تعریف عامل	پارامترهای سطحی اراضی	متغیرهای محیطی
X = longitude, Y = latitude in UTM system, zone 39S	Grid data (X, Y)	عوارض زمین نشانگرهای
مدل رقومی ارتفاع: ارتفاع بالای سطح دریای آزاد (متر) (Tajik et al., 2012; Taghizadeh-Mehrjardi et al., 2014)	DEM	
زاویه میان سطح شب و اشعه نور تابیده شده در محل (بر حسب رادیان) شکل زمین (Zawawi et al., 2014)	Analytical Hillshading	Landforms
بافت (Bock et al., 2007)	Texture	
(Amirian-Chakan et al., 2019)	Flow Accumulation	
(Kaneda & Chiba, 2019)	Protection Index	
(Köthe & Boc, 2006)	Clusters	
زاویه میان سطح شب و aspect direction (Guo, 2018)	Cross-Sectional Curvature	Cross-Sectional Curvature
عامل طول شب در معادله جهانی فرسایش خاک (Szatmári et al., 2015)	LS Factor	Longitudinal Curvature
فاصله عمودی تا شبکه کanal شاخص خیسی توپوگرافیک: معیاری برای تجمع رطوبت (Tajik et al., 2012; Taghizadeh-Mehrjardi et al., 2014)	Vertical Distance to Channel Network VDCN	Topographic Wetness Index, TWI
اختلاف ارتفاع شبکه کanal (Taghizadeh-Mehrjardi et al., 2014)	Channel Network Base Level	
طول دره: شاخص نسبت پهنه‌ای دره به عمق دره (Taghizadeh-Mehrjardi et al., 2014;	Valley Depth, VD	

1. System for Automated Geoscientific Analyses 2.2.7
2. Resampling

## ادامه جدول ۳

متغیرهای محیطی	پارامترهای سطحی اراضی	منبع / تعریف عامل
	Catchment Slope, CS	متوسط میزان گرادیان بالای مسیر جریان (Taghizadeh-Mehrjardi et al., 2014; Amirian-Chakan et al., 2019)
	Slope	زاویه بین سطح تماس و سطح افقی در یک نقطه از سطح زمین (Taghizadeh-Mehrjardi et al., 2014; Guo, 2018)
	Relative Slope Position, RSP	(Bock et al., 2007)
	Drainage Basins, DB	(Parmar, 2019) حوضه‌های زهکش
	Closed Depression, CD	
	Slope Aspect, SA	جهت: بیشترین سرعت تغییر در ارتفاع در هر سلول مدل رقومی ارتفاع (Tajik et al., 2012; Taghizadeh-Mehrjardi et al., 2014; Guo, 2018) شاخص انحنا: شکل کلی دامنه کوه در تمامی جهات
	Convergence Index, CI	(مقعر، مستطیل یا محدب) (Tajik et al., 2012)
	Channel Length	(Parmar, 2019) طول کاتال
	Multi-resolution Valley Bottom Flatness Index, MRVBF	شاخص تسطیح کف دره: معیاری برای مسطح بودن اراضی (Gallant & Dowling, 2003)
	Multi-resolution index of ridge top flatness, MRRTF	شاخص تسطیح بالای پشتہ: شاخص توپوگرافیک برای شناسایی مناطق مسطح (Amirian-Chakan et al., 2019)
	Modified Catchment Area, MCA	شاخصی برای جریان تجمعی و پارامترهای مرتبط (Amirian-Chakan et al., 2019)
	Output	
	Variance	(Bock et al., 2007)
	Sunset	(Jochem et al., 2010)
	Sunrise	(Brenning et al., 2018)
	Day Length, DL	طول روز طی یک فصل (ساعت) (Forkuo & Nketia, 2011)
Remote Sensing Data	Bands Sensor OLI_TIRS	www.usgs.gov
	Salinity Index, SI	$[(B3-B4)/(B2+B4)]$ (Metternicht & Zinck, 2003)
	Gypsum Index, GI	$[(B5-B4)/(B5+B4)]$ (Nield et al., 2007)
	Brightness Index, BI	$[(B3)2+(B4)2]0.5$ (Metternicht & Zinck, 2003)
	Carbonate Index, Carl	B3/B2 (Boettinger et al., 2008)
	Clay Index, ClayI	B5/B7 (Boettinger et al., 2008) $[(B4-B3)/(B4+B3)]$
	Normalized Difference Vegetation Index, NDVI	شاخصی برای بیان تفاوت میان باندهای فروسرخ (Boettinger et al., 2008)

\* برای نرمال شدن متغیرهای شاخص شوری و گچ خاک، فرمول محاسبه آنها به ترتیب، به این صورت اصلاح شده است:

$$\begin{aligned} [(B3-B4)/(B2+B4)]^{0.5} \\ [(B5-B4)/(B5+B4)] + (0.5810) \end{aligned}$$

### ۳- نتایج و بحث

#### ۱-۳- ارزیابی باندهای سنجنده OLI\_TIRS

باندهای تصاویر ماهواره‌ای، با استفاده از نرم‌افزار JMP ارزیابی آماری شدند.

الف) ضریب همبستگی و RMSE میان باندهای تصاویر ماهواره‌ای

جدول ۴ ضرایب همبستگی و RMSE میان باندهای تصاویر ماهواره‌ای لندست-۸ را نشان می‌دهد.

براساس جدول ۴، همبستگی (۱ و ۲)، (۱۱ و ۳)، (۱ و ۴)، (۱ و ۸)، (۲ و ۳)، (۲ و ۴)، (۲ و ۸)، (۳ و ۴)، (۳ و ۴)، (۴ و ۸) و (۱۰ و ۱۱) بیشترین  $R^2$  و کمترین RMSE را داشتند.

### مرحله چهارم: تحلیل متغیرها

با استفاده از نرم‌افزارهای SAS و JMP، آنالیز شاخص‌های آماری باندهای تصاویر ماهواره لندست-۸ ارزیابی شد. ارزیابی سنجنده OLI\_TIRS نیز براساس عوامل ضریب همبستگی و هیستوگرام توزیع فراوانی انجام شد. برای انتخاب داده‌های نرمال، توزیع فراوانی آنها بررسی شد. از میان داده‌های نرمال، آنهایی که بیشترین مقادیر CV و  $R^2$  و کمترین مقادیر RMSE را داشتند به منزله پارامتر مناسب انتخاب شدند (Taghizadeh- Mehrjardi et al., 2014).

$$RMSE = \sqrt{\frac{1}{n} \sum_{i=1}^n (O_i - P_i)^2} \quad (1)$$

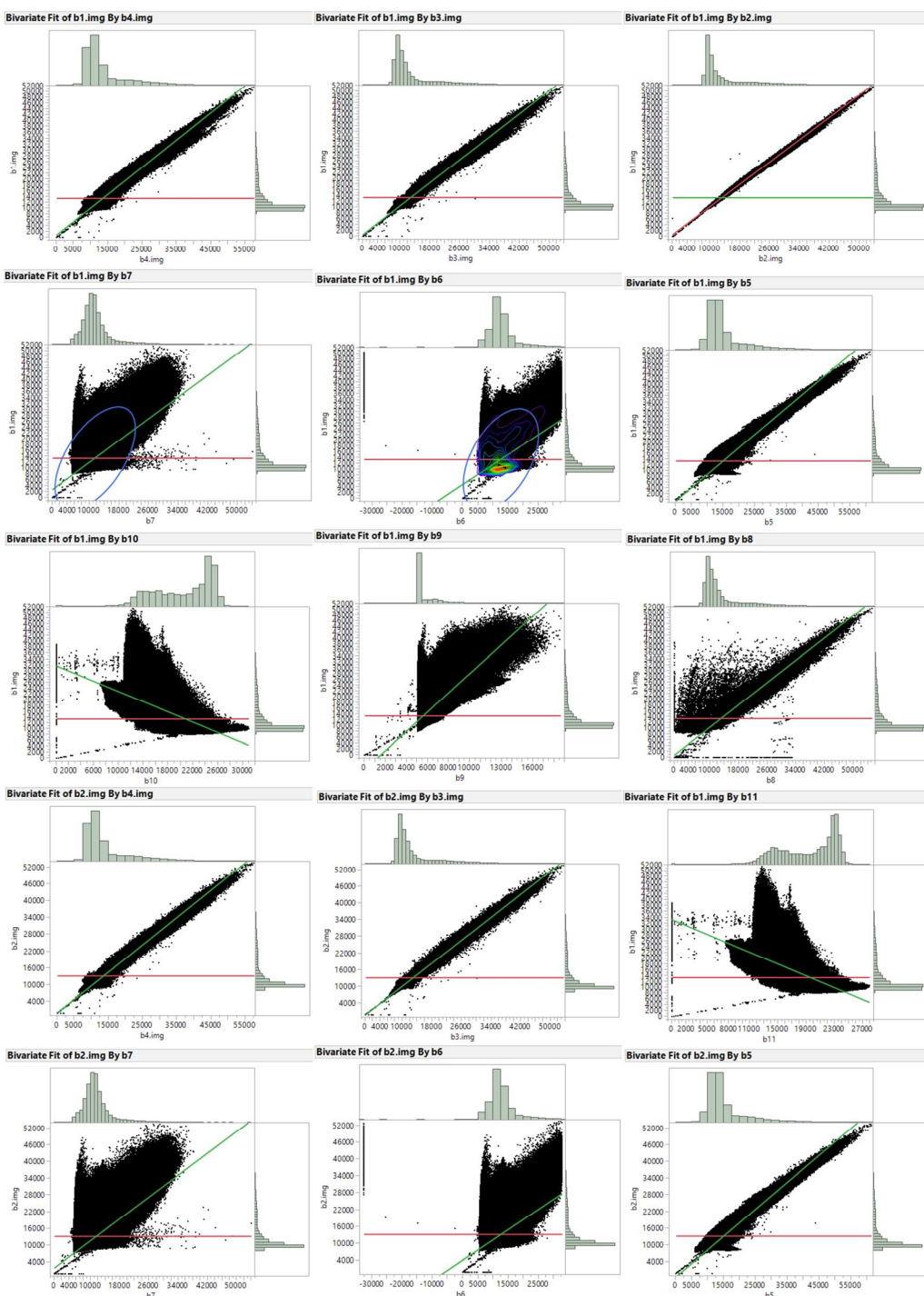
$$R^2 = \left[ \frac{\sum_{i=1}^n (O_i - O_{ave})(P_i - P_{ave})}{\sqrt{\sum_{i=1}^n (O_i - O_{ave})^2 (P_i - P_{ave})^2}} \right]^2 \quad (2)$$

جدول ۴. ضرایب همبستگی و RMSE میان باندهای تصاویر ماهواره‌ای لندست-۸

شماره باند تصاویر ماهواره‌ای	B1	B2	B3	B4	B5	B6	B7	B8	B9	B10	B11
B1	$R^2$	۱	.۹۹	.۹۸	.۹۷	.۹۲	.۲۳	.۳۳	.۹۷	.۴۰	.۴۹
	RMSE	۲۱۲	۶۴۰	۹۷۴	۱۵۸۶	۵۰۱۷	۴۶۹۲	۸۹۵	۴۴۳۶	۴۰۶۸	۴۱۲۰
B2	$R^2$	۱	.۹۹	.۹۷	.۹۳	.۲۴	.۳۴	.۹۸	.۳۸	.۴۷	.۴۶
	RMSE	۵۱۰	۸۴۷	۱۵۳۱	۵۱۹۴	۴۸۴۴	۷۷۷	۴۶۷۰	۴۳۲۱	۴۳۷۲	
B3	$R^2$	۱	.۹۹	.۹۵	.۲۷	.۳۷	.۹۸	.۳۷	.۴۳	.۴۲	
	RMSE	۴۰۳	۱۲۵	۴۹۱۲	۴۵۳۶	۶۲۰	۴۵۵۷	۴۳۲۹	۴۳۷۳		
B4	$R^2$	۱	.۹۶	.۲۹	.۴۱	.۹۸	.۳۵	.۴۰	.۳۹		
	RMSE	۱۱۴۲	۵۰۹۴	۴۶۶۰	۶۷۰	۴۸۶۵	۴۶۹۵	۴۷۳۶			
B5	$R^2$	۱	.۳۵	.۴۷	.۹۵	.۳۷	.۳۵	.۳۵	.۳۴		
	RMSE	۷۴۶۰	۴۲۹۴	۱۳۱۸	۴۷۰۶	۴۷۷۲	۴۸۰۴				
B6	$R^2$	۱	.۷۸	.۲۷	.۲۳	.۰۴	.۰۴				
	RMSE	۱۸۷۵	۳۴۸۵	۳۵۷۸	۴۰۰۵	۴۰۰۶					
B7	$R^2$	۱	.۳۸	.۳۲	.۰۶	.۰۶					
	RMSE	۲۸۰۴	۲۹۲۴	۳۴۴۰	۳۴۴۱						
B8	$R^2$	۱	.۳۶	.۴۲	.۴۱						
	RMSE	۸۸۵	۳۴۹۶	۳۰۱۱							
B9	$R^2$	۱	.۵۱	.۵۰							
	RMSE	۷۷۲	۷۷۷								
B10	$R^2$	۱	.۹۹								
	RMSE	۲۹۷									
B11	$R^2$	۱									
	RMSE										

## ب) هیستوگرام توزیع فراوانی

شکل ۲ توزیع فراوانی داده‌ها، منتج از باندهای تصاویر ماهواره‌ای را نشان می‌دهد.

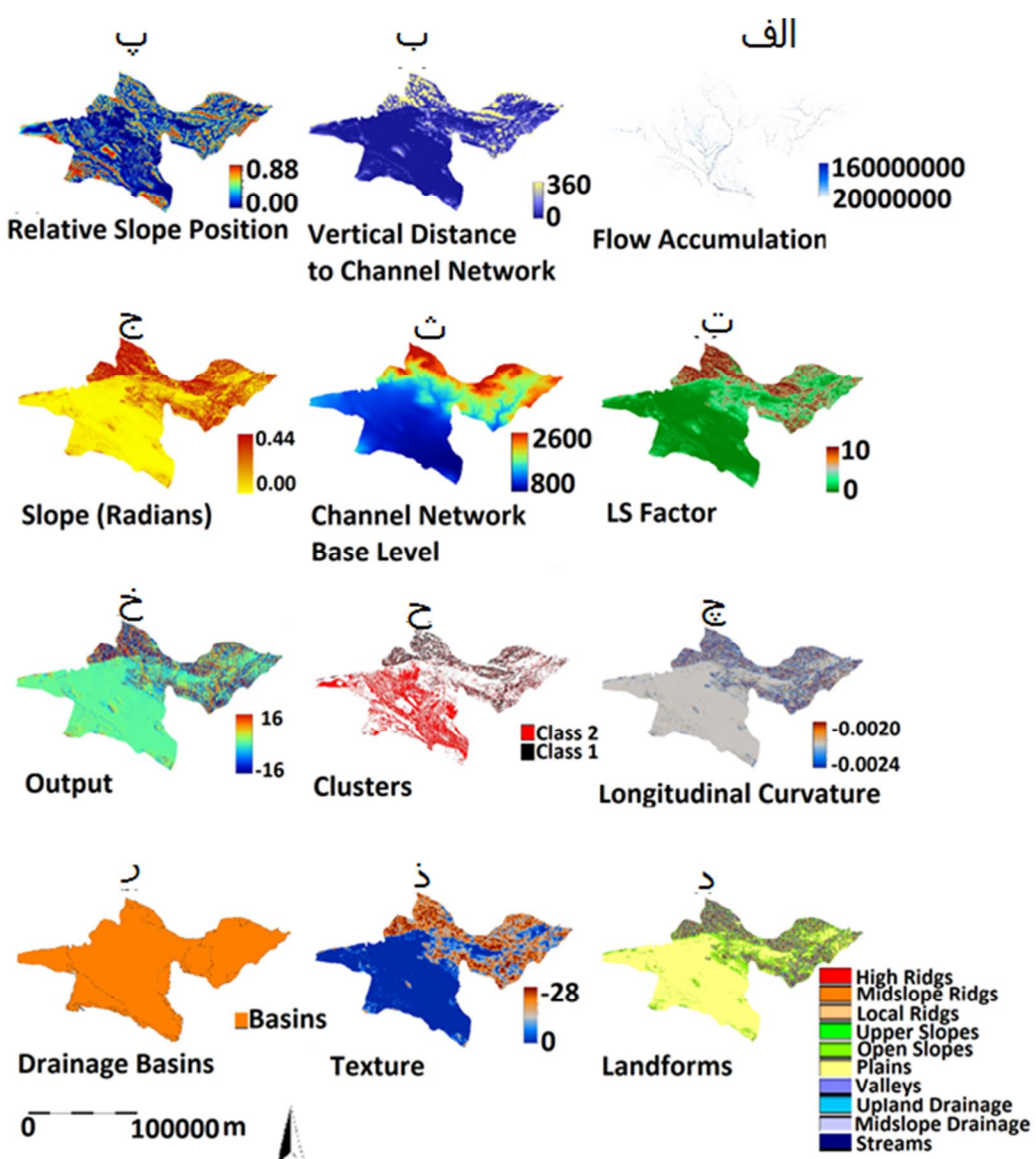


شکل ۲. توزیع فراوانی درجات روشنایی باندها، منتج از باندهای تصاویر ماهواره‌ای

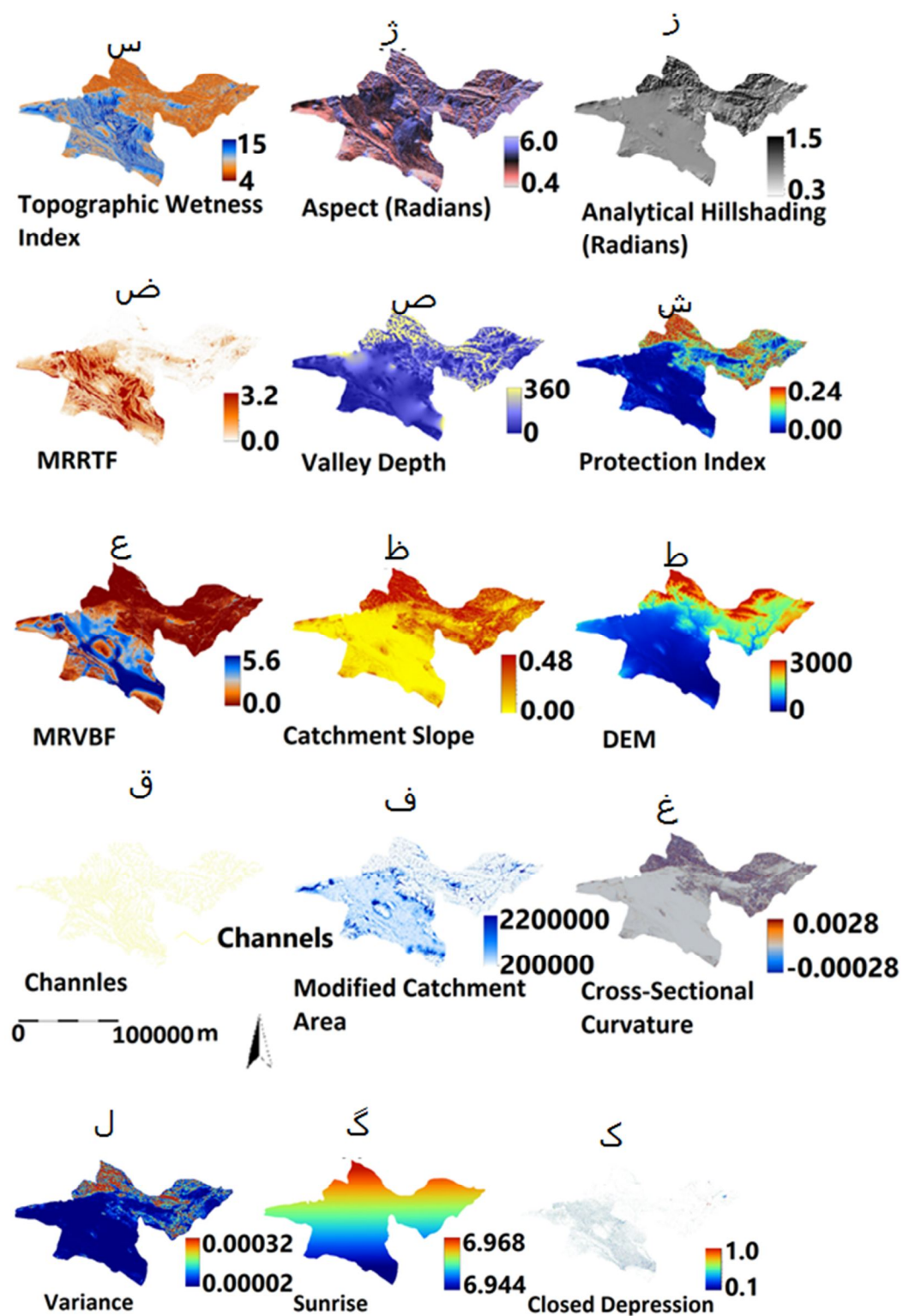
### ۳-۲- ارزیابی متغیرهای محیطی

برای ارزیابی متغیرها، از ارزیابی هیستوگرام توزیع فراوانی و همچنین تحلیل آماری متغیرها استفاده شد که، در ادامه، توضیح داده می‌شود. شکل ۳ نقشه متغیرهای محیطی استان تهران را دربردارد که با استفاده از نرم‌افزار SAGA GIS ترسیم شده است.

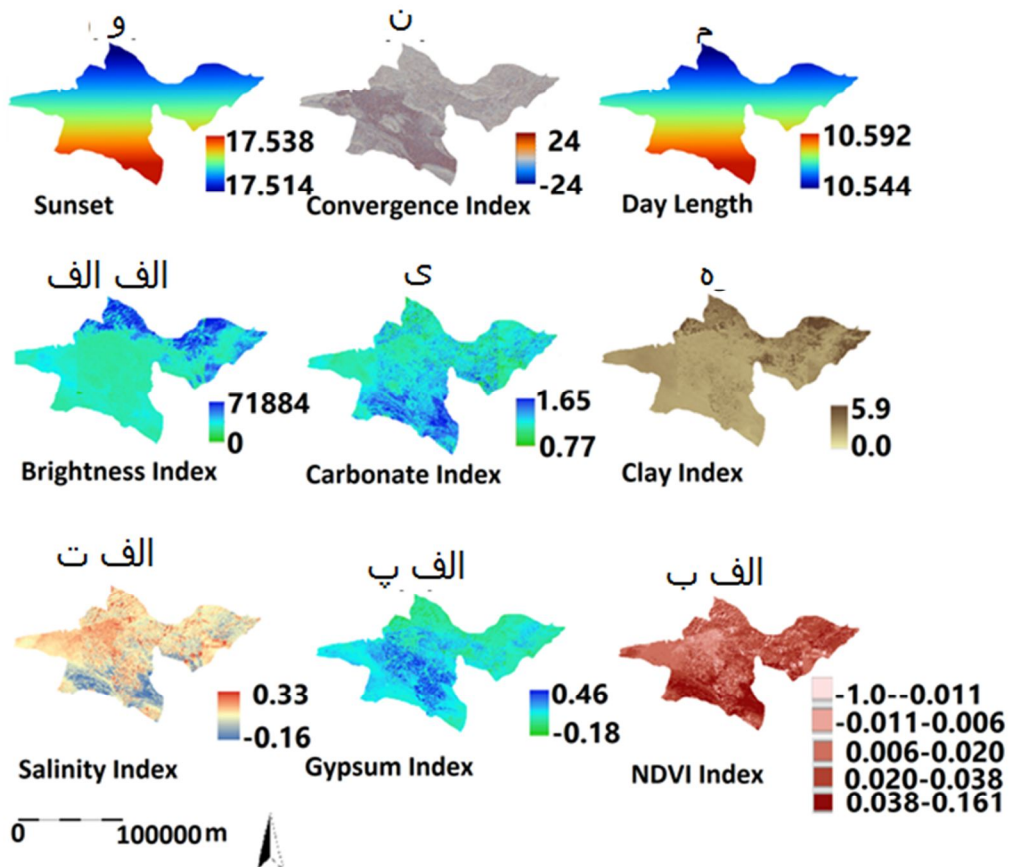
با توجه به اینکه الگوی توزیع فراوانی متغیرها هرچه بیشتر به یکدیگر شباهت داشته باشند، الگوی Taghizadeh- Mehrjardi et al., 2014 متناسب‌تری خواهد بود (، براساس هیستوگرام توزیع فراوانی متغیرهای نشان‌داده شده در شکل ۲، باندهای ۲، ۳، ۴، ۸ و ۱۱ به منزله بهترین باندهای تصاویر ماهواره‌ای برای ارزیابی متغیرهای محیطی انتخاب شدند.



شکل ۳. نقشه متغیرهای مورد استفاده در این پژوهش



ادامه شکل ۳



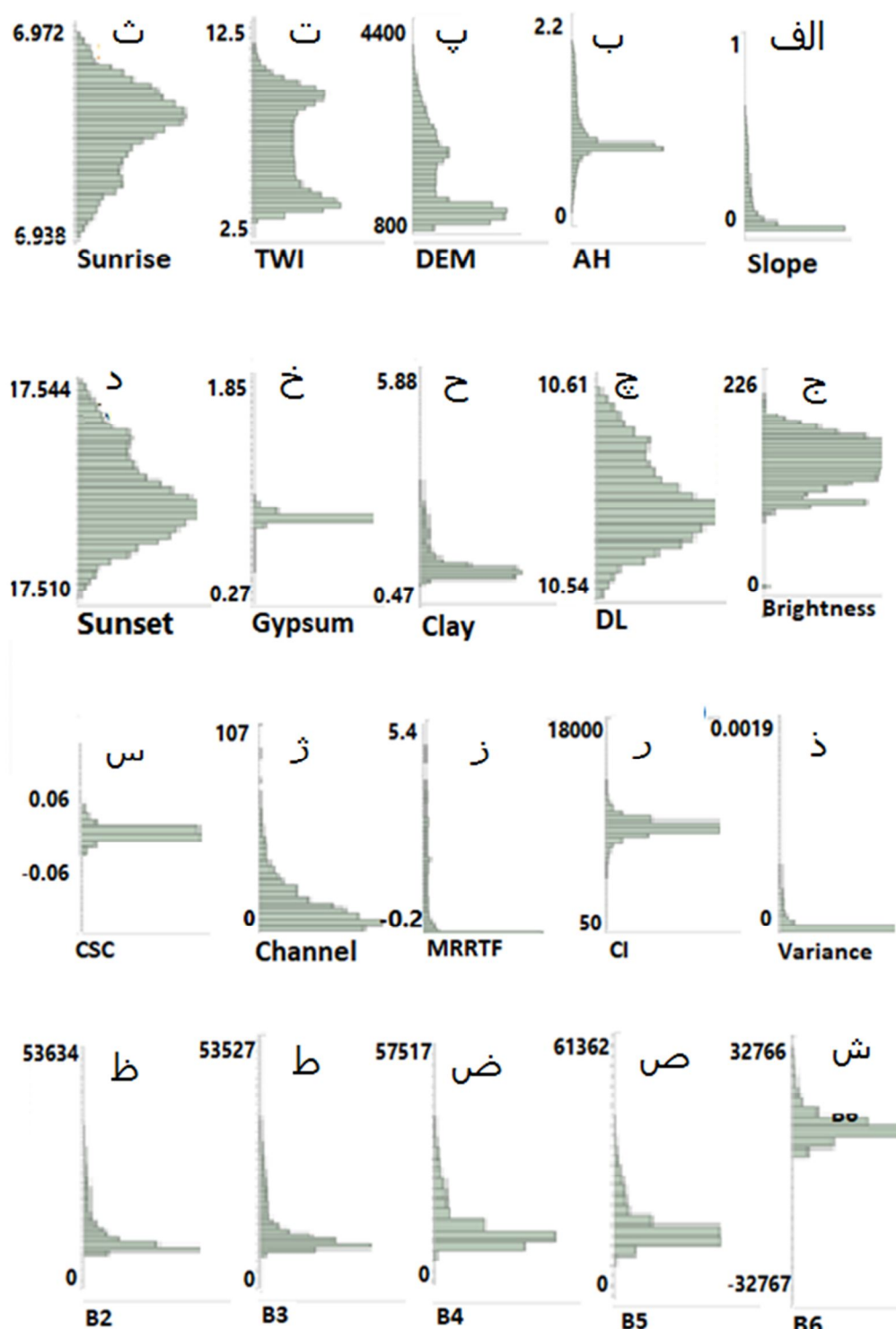
ادامه شکل ۳

شاخص همگرایی، شاخص شکل زمین، شاخص بافت، شاخص حوضه‌های زهکش، شاخص خیسی توپوگرافیک، شاخص طول کانال، شاخص طلوع خورشید، طول روز، B2، B3، B4، B5، B6، B7، B8، B10، B11، شاخص انحراف معیار، شاخص درخشندگی، شاخص غربوب خورشید، شاخص رس خاک و شاخص گج خاک داده با توزیع نرمال بودند که از آنها برای تعیین الگوی نمونه‌برداری خاک در استان تهران استفاده شده است. در این پژوهش، مطابق شکل ۴، از ۴۹ داده بررسی شده فقط ۳۶ داده نرمال بود.

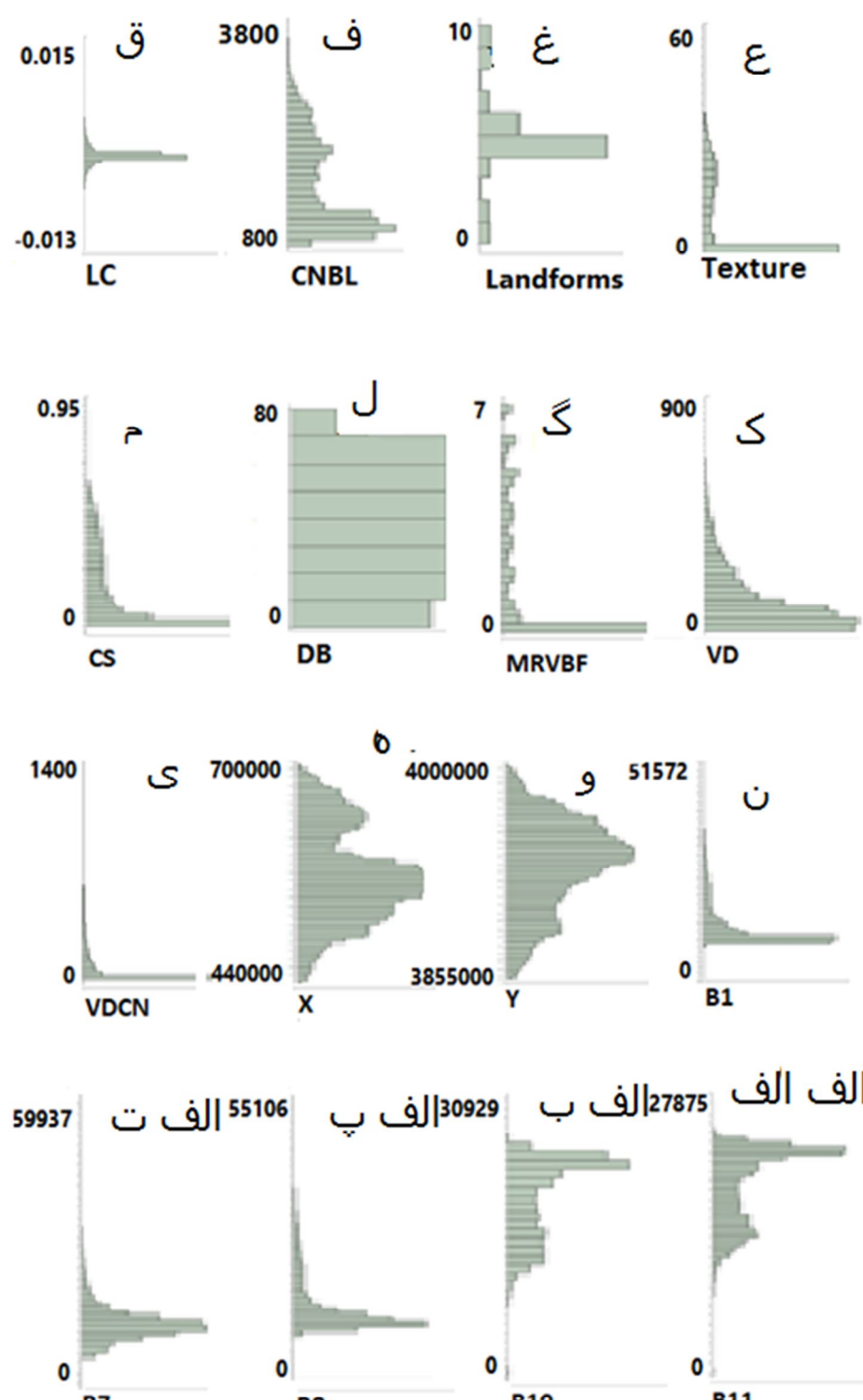
### ۳-۳- توزیع فراوانی متغیرها

نمودار هیستوگرام توزیع فراوانی متغیرها نرمال بودن داده‌ها را به صورت بصری مشخص می‌کند. بر این مبنای شکل ۴ نمودارهای هیستوگرام توزیع فراوانی ۳۶ داده نرمال و غیرنرمال را شامل می‌شود.

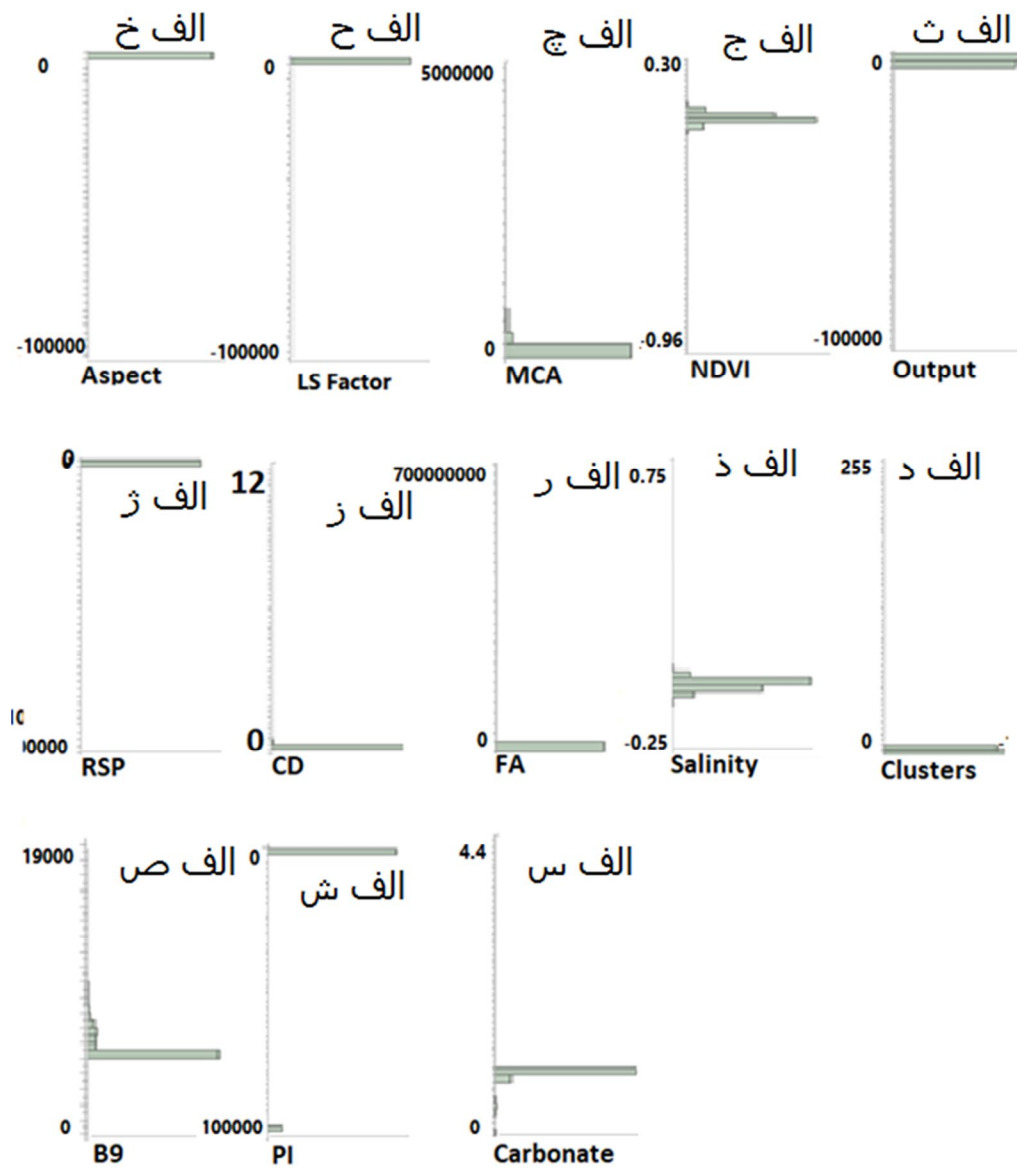
براساس شکل ۴، پارامترهای مدل رقومی ارتفاع، شاخص آنالیز تپه، شب، شاخص انحنای طولی، شاخص سطح پایه شبکه کانال، شاخص فاصله عمودی تا شبکه کانال، مقطع عمودی انجنا، شاخص عمق دره، شاخص شب حوضه آبخیز، MRVBF، MRRTF.



شکل ۴. توزیع آماری متغیرها



ادامه شکل ۴



ادامه شکل ۴

#### تحلیل آماری متغیرها

جدول ۵، به ترتیب، آنالیز آماری متغیرهای محیطی غیرنرمال در این پژوهش را نشان می‌دهد. نرمال در این پژوهش را نشان می‌دهد.

جدول ۵. آنالیز آماری متغیرهای نرمال

داده‌های مورد بررسی	میانه	میانگین معیار	انحراف معیار	حداکثر	حداقل	واریانس	ضریب تغییرات	تعداد پیکسل
مدل رقومی ارتفاع	۱۳۷۳/۷۰	۱۶۲۸/۳۱	۷۲۷/۱۳	۴۳۳۴/۴۹	۷۶۷/۲۲	۵۲۸۷۱۸	۴۴/۳۳	۵۴۵۶۱۵۱
X	۵۶۰۶۳۶	۵۶۶۲۴۹	۵۳۱۵۲	۴۴۱۵۳۶	۶۹۵۰۳۶	۲۸۲۵۱۶۸۸۷۱	۹/۳۸	۵۴۵۶۱۵۱
Y	۳۹۳۸۵۶۸	۳۹۳۴۶۴۸	۲۷۴۷۶۳۷	۳۸۵۸۳۱۸	۳۹۹۹۰۱۸	۷۵۴۹۰۰۸۹۵	۰/۶۹	۵۴۵۶۱۵۱
B1	۱۰۷۸۹	۱۳۵۰۷	۰۷۴۲/۰۶	۵۱۵۷۲	•	۳۲۹۷۱۲۶	۴۲/۵۱	۵۴۵۶۱۵۱
B2	۱۰۵۷۹	۱۲۲۷۴	۰۹۷۲/۰۱	۵۳۶۳۴	•	۳۵۶۶۴۹۸۲	۴۴/۹۸	۵۴۵۶۱۵۱
B3	۱۰۶۷۶	۱۲۹۶۹	۰۷۵۷/۰۵	۵۳۵۲۷	•	۳۳۱۵۰۶۰۶	۴۴/۳۹	۵۴۵۶۱۵۱
B4	۱۱۴۱۱	۱۲۶۱۲	۰۶۰۹/۹۶	۵۷۵۱۷	•	۳۶۸۴۴۴۲۸	۴۴/۵۹	۵۴۵۶۱۵۱
B5	۱۲۲۳۲	۱۵۰۷۴	۰۹۴۴/۷۶	۶۱۳۶۲	•	۳۵۳۴۰۲۵۴	۳۹/۴۳	۵۴۵۶۱۵۱
B6	۱۲۰۳۴	۱۲۶۱۸	۰۹۰/۷۸	۳۲۷۶۶	-۳۲۷۶۷	۱۶۷۳۴۵۱۹	۳۲/۴۱	۵۴۵۶۱۵۱
B7	۱۱۰۰۷	۱۱۵۴۷	۰۳۶۶/۷۹	۵۹۹۳۷	•	۱۲۷۲۲۰۰۷	۳۰/۸۸	۵۴۵۶۱۵۱
B8	۱۰۸۸۸	۱۳۱۳۸	۰۸۷۳/۴۱	۵۵۱۰۶	•	۳۴۴۹۷۰۰۵۵	۴۴/۷۰	۵۴۵۶۱۵۱
B10	۲۲۱۹۱	۲۰۶۲۹	۰۶۰۱/۲۸	۳۰۹۲۹	•	۲۱۱۷۱۷۹۴	۲۲/۳۰	۵۴۵۶۱۵۱
B11	۲۰۸۰۸	۱۹۴۳۸	۰۹۲۵/۴۵	۲۷۸۷۵	•	۱۵۴۰۹۲۱۷	۲۰/۱۹	۵۴۵۶۱۵۱
شاخص آنالیز تپه	۰/۸۱۴۵	۰/۹۱۷۷	۰/۳۳۵۹	۰/۱۱۲۸	۲/۱۹۳۷	۰/۰۰۰۹	۶۰/۳۶	۵۴۵۶۱۵۱
شیب	۰/۰۵۴۹	۰/۱۳۹۰	۰/۱۶۷۰	۱/۰۰۰۷	•	۰/۰۲۷۹	۱۲۰/۱۳	۵۴۵۶۱۵۱
شاخص انحنای طولی	-۰/۰۴۱۰	-۵/۳۴۱۰	۰/۰۰۱۱	-۰/۰۱۲۰	۰/۰۰۰۰	۰/۰۱۴۷	-۲۲۱۳	۵۴۵۶۱۵۱
CNBL	۱۳۳۲/۳۱	۱۵۴۴/۴۷	۶۲۷/۵۰	۳۸۰۶/۲۱	۷۶۷/۲۲	۳۹۳۸۰۶	۴۰/۶۳	۵۴۵۶۱۵۱
VDCN	۸۵/۱۴	۸۳/۸۴	۱۴۶/۱۲	۱۲۸۴/۲۵	•	۲۱۳۵۲	۱۷۴/۲۷	۵۴۵۶۱۵۱
شكل زمین	۴	۴/۳۱	۱/۸۳	۹	•	۳/۳۴	۴۲/۴۵	۵۴۵۶۱۵۱
بافت خاک	۱/۲۹	۸/۳۹	۱۰/۴۶	۵۹۹۸۸	•	۱۰/۵۶	۱۲۴/۷۲	۵۴۵۶۱۵۱
CSC	۰/۰۰۰۰	۵/۹۲	۰/۰۱۴	-۰/۰۱۵۰	-۰/۰۱۶۳	۰/۰۰۰۰	۲۴۷/۰/۱۷	۵۴۵۶۱۵۱
عمق دره	۸۶/۴۵	۱۲۶/۳۶	۱۲۳/۱۷	۸۸۱/۴۱	•	۱۵۱۷۰	۹۷/۴۷	۵۴۵۶۱۵۱
شاخص شیب حوضه آبخیز	۰/۱۰۰۱	۰/۱۶۷۴	۰/۱۶۶۰	۰/۹۵۲۳	•	۰/۰۲۷	۹۹/۱۴	۵۴۵۶۱۵۱
شاخص همگرایی	۰/۱۸۲۹	-۰/۰۰۰۳	۱۱/۱۱	-۹۹/۱۰	۹۷/۶۸	۱۲۳/۴۳	۱۲۳/۴۳	۵۴۵۶۱۵۱
MRVBF	۰/۶۷۳۹	۱/۷۸۱۹	۲/۰۹۸۶	•	۶/۹۸۷۷	۱۱۷/۷۷	۴/۴۰	۵۴۵۶۱۵۱
MRRTF	۰/۱۳۹۳	۰/۸۶۲۴	۱/۲۴	۵/۲۷۸۸	•	۱/۵۴	۱۴۳/۹۳	۵۴۵۶۱۵۱
TWI	۶/۷۲	۶/۷۵	۲/۲۰	۱۲/۴۶	۱۰/۶	۴/۸۶	۳۲/۸۴	۵۴۵۶۱۵۱
شاخص حوضه‌های زهکش	۳۶/۵	۳۶/۵	۲۰/۹۲	۷۲	۱	۴۳۸	۵۷/۳۳	۷۲
شاخص طول کانال	۱۶۹۸/۵۲	۲۳۳۰/۹۱	۲۲۴۲/۴۷	۱۷۹۰/۰/۹۶	۵۰	۰/۰/۲۸	۹۶/۲۰	۳۱۲۵
واریانس	۰/۰۰۰۰۰۶	۰/۰۰۰۰۰۶	۰/۰۰۰۱	۱/۷×۱۰⁻۸	۰/۰۰۱	-۰/۰/۷۶	۲۰/۵	۵۴۵۶۱۵۱
طلوع	۶/۹۵	۶/۹۹	۰/۰۰۶	۶/۹۷	۶/۹۳	-۰/۰۰۰۴	-۰/۰/۹	۵۴۵۶۱۵۱
غروب	۱۷/۵۲	۱۷/۵۲	۰/۰۰۶	۱۷/۵۴	۱۷/۵۱	-۰/۰۰۰۴	-۰/۰/۳	۵۴۵۶۱۵۱
طول روز	۱۰/۵۶	۱۰/۵۶	۰/۰۱۳۰	۱۰/۵۳	۱۰/۵۰	۱/۰/۱	-۰/۰/۱۲	۵۴۵۶۱۵۱
شاخص گج	۰/۸۸۰۵	۰/۸۷۵۲	۰/۰۶۶۰	۰/۲۷۰۵	-۰/۰۰۴۳	-۰/۰۰۰۴	-۰/۰/۵۵	۵۴۴۶۹۷۸
شاخص رس	۱/۲۰۵۵	۱/۳۶۴۰	۰/۴۴۶۱	-۰/۴۷۰۰	-۰/۴۳۷۹	۰/۰/۹۰	-۰/۰/۹۸	۲۵۵۶۳۱۰
شاخص درخشندگی	۱۳۸/۲۵	۱۳۵/۸۰	۲۵/۰۵۷۳۱	-۰/۰۰۹	۶۵۳/۹۸	۱۸/۸۳	-۰/۰/۲۲	۵۴۴۶۰۳۲

CNBL, Channel Network Base Level ; CSC, Cross-Sectional Curvature; TWI, Topographic Wetness Index; VDCN, Vertical Distance to Channel Network.,

جدول ۶. آنالیز آماری متغیرهای غیرنرمال

داده کمکی	میانه	میانگین	انحراف معیار	حداقل	حداکثر	واریانس	ضریب تغییرات	تعداد
B9	۵۰۰۹	۵۵۹۶	۱۱۰۶	۰	۱۸۶۰۸	۱۲۲۴۳۱۷	۱۹/۷۷	۵۴۵۶۱۵۱
Aspect	۳/۰۲	-۴/۹۲	۸۸۷/۷۳	۰/۰۱۵	۶/۲۸	۷۸۸۰۷۲	-	۵۴۵۶۱۵۱
شاخص تجمع جریان	۳۰۳۷۳	۳۷۸۳۹۰۹	۸۱۶۰۱۳۹۱	۲۵۰۰	۷۱۵۱۲۳۷۱۲۰	۶×۱۰ <sup>۱۵</sup>	۲۱۵۶/۵۳	۵۴۵۶۱۵۱
LS Factor	۰/۱۰	-۶/۵۱	۹۶۰/۱۳	۰/۰۰۰	۵۵/۷۳	۹۲/۱۸	-۱۴۷۳۱	۵۴۵۶۱۵۱
RSP	۰/۲۲	-۱۷/۱۶	۱۳۲۲/۸۷	۰	۱	۱۷۴۴۹۹۸۸	-۷۷۰۴/۷۴	۵۴۵۶۱۵۱
Clusters	۴/۰۰	۴/۰۶	۵/۴۱	۰	۲۵۵	۲۹/۳۰۰۷۳	۱۳۳/۱۰	۵۴۵۶۱۵۱
Closed Depressions Output	۰/۰۰	۰/۰۱۵	۰/۰۱	۰	۱۲/۵۷	۰/۰۰۰۲	-	۵۴۵۶۱۵۱
شاخص حافظت	۰/۰۲	-۷۸/۷۴	۲۸۰۳	-۳۱/۰۰۸	۷۴/۹۱	۷۸۵۶۸۰۹	-۵۳۶۰/۳۸	۵۴۵۶۱۵۱
MCA	۲۴۵۵۳۶	۷۴۹۸۰۸	۱۷۹۲۴۸۵	۰/۰۰۶	۰/۰۳	۹×۱۰ <sup>۱۴</sup>	-۲۸۷/۶۳	۵۴۵۶۱۵۱
شاخص کربنات	۰/۹۳۲۷	۰/۹۶۳	۰/۱۹۹۱	۰	۴/۲۸۳۳	۰/۰۳۹۶	۲۱/۵۰	۵۴۴۲۰۴۸
NDVI	۰/۰۲۱۳	۰/۰۳۱۱	۰/۱۱۳۱	-۱	۱	۰/۰۱۲۷	۳۶۲/۸۳	۵۴۴۲۰۶
شاخص شوری	۰/۱۱۰۸	۰/۲۱۳۸	۰/۲۵۷۱	۰	۱/۲۷	۰/۶۶۶۴	۱۲۰/۲۴	۵۳۳۷۲۰

جدول ۵ نتیجه گرفته می‌شود که باندهای ۲، ۳ و ۴ این سنجنده OLI\_TIRS بهترین باندهای تصاویر ماهواره‌ای لندست-۸ برای ارزیابی متغیرهای محیطی‌اند زیرا بیشترین واریانس را دارند. از میان متغیرهای محیطی نرمال نیز، آنهایی که بیشترین انحراف معیار و ضریب تغییرات را دارند بهمنزله متغیرهای مطلوب برای تهیه نقشه رقومی خاک استان تهران معرفی شدند. بر این مبنای، بیشترین انحراف معیار یا ضریب تغییرات (به ترتیب، اعداد بالای ۱ و ۱۰۰) به پارامترهای مدل رقومی ارتفاع، شبی، VDCN، CNBL، TWI، MRRTF، MRVBF، دره، شاخص همگرایی، شاخص کانال و شاخص درخشندگی تعلق داشت و به این ترتیب، این پارامترها متغیرهای مناسبی بودند. این نتایج با تحقیقات قبلی در این زمینه (Adhikari et al., 2013; Fu et al., 2013; Gallant & Dowling, 2003; Mulder et al., 2016; Taghizadeh- Mehrjardi et al., 2014) مطابقت دارد.

با توجه به اینکه در تهیه نقشه رقومی به روش کوکریجینگ، انتخاب متغیرهای محیطی اهمیت

#### ۴- نتیجه‌گیری

این پژوهش، در زمینه ضرایب همبستگی، با پژوهش‌های Darestani Farahani et al., 2016; (Zeinali et al., 2016) هم‌خوانی دارد. در تحقیقی دیگر، باندهای ۱ تا ۵ و ۷ سنجنده TM برای تهیه نقشه شوری خاک مناسب تشخیص داده شد که با نتایج این پژوهش دارای هم‌خوانی است (Zeinali et al., 2016). طبق نتایج تحقیقات قبلی، ویژگی‌های خاک اغلب توزیع نرمال ندارند و از طرفی، در طراحی الگوی نمونه‌برداری خاک باید تغییرات مکانی این ویژگی‌ها در نظر گرفته شود (Fu et al., 2013; Lacoste et al., 2016; Li et al., 2011; Liess et al., 2012; Maynard & Levi, 2017; Mulder et al., 2016; Taghizadeh-Mehrjardi et al., 2016; Vaysse & Lagacherie, 2015; Were et al., 2015) آزمون خاک و تهیه نقشه رقومی خاک کمک شایانی خواهد کرد. گرچه در مطالعات نقشه‌برداری رقومی خاک، معمولاً کمتر از سی داده محیطی بررسی می‌شود (Adhikari et al., 2013; Brungard et al., 2015; )

- Blaga, L., 2012, **Aspects Regarding the Significance of the Curvature Types and Values in the Studies of Geomorphometry Assisted by GIS**, Anal. Univ. Oradea Ser. Geogr, 2012, PP. 327-337.
- Bock, M., Boehner, J., Conrad, O., Koethe, R. & Ringeler, A., 2007, **Methods for Creating Functional Soil Databases and Applying Digital Soil Mapping with SAGA GIS**, In: T. Hengl, P. Panagos, A. Jones, G. Toth, [Eds.]: Status and Prospect of Soil Information in South-Eastern Europe: Soil Databases, Projects and Applications, EUR 22646 EN Scientific and Technical Research Series, Office for Official Publications of the European Communities, Luxemburg, PP. 149-162, [http://eusoils.jrc.ec.europa.eu/ESDB\\_Archive/eusoils\\_docs/esb\\_rr/EUR22646EN.pdf](http://eusoils.jrc.ec.europa.eu/ESDB_Archive/eusoils_docs/esb_rr/EUR22646EN.pdf).
- Boettinger, J.L., Ramsey, R.D., Bodily, J.M., Cole, N.J., Kienast-Brown, S., Nield, S.J., Saunders, A.M. & Stum, A.K., 2008, **Landsat Spectral Data for Digital Soil Mapping**, In: A.E. Hartemink, A.B. McBratney, M.L. Mendonca-Santos (Eds.), Digital Soil Mapping with Limited Data, Springer Science, Australia, PP. 193-203.
- Brenning, A., Bangs, D., Becker, M., Schratz, P. & Polakowski, F., 2018, **Package ‘RSAGA’**, The Comprehensive R Archive Network, <https://CRAN.R-project.org/package=RSAGA>.
- Brungard, C.W., Boettinger, J.L., Duniway, M.C., Wills, S.A. & Edwards Jr., T.C., 2015, **Machine Learning for Predicting Soil Classes in Three Semi-Arid Landscapes**, Geoderma, 239-240, PP. 68-83, doi.org/10.1016/j.geoderma.2014.09.019.
- Conrad, O., Bechtel, B., Bock, M., Dietrich, H., Fischer, E., Gerlitz, L., Wehberg, J., Wichmann, V. & Boehner, J., 2015, **System for Automated Geoscientific Analyses (SAGA) v. 2.1.4**, Geosci. Model Dev., 8, PP. 1991-2007, doi:10.5194/gmd-8-1991-2015.
- Darestani Farahani, M., Akhondzadeh Henzaei, M. & Ahmadi Givi, F., 2016, **Using a Neural Network Algorithm to Prepare a Water Surface Salinity Map from MODIS Satellite Images**, Journal of Geographic Information Sepehr, 25(99), PP. 18-5.
- Dharumaranjan, S., Lalitha, M., Niranjana, K.V. & Hegde, R., 2022, **Evaluation of Digital Soil Mapping Approach for Predicting Soil Fertility Parameters—A Case Study from Karnataka Plateau, India**, Arabian Journal of Geosciences, 15(5), P. 386.

ویژه‌ای دارد، شناسایی متغیرهای محیطی مناسب برای تهیه نقشه رقومی خاک در استان تهران، در این پژوهش، هدف‌گذاری شده بود. طبق نتایج پژوهش حاضر، از میان ۴۹ داده محیطی بررسی شده، براساس آنالیز آماری، چهارده متغیر محیطی مطلوب انتخاب شدند. بدین ترتیب این نتیجه به دست می‌آید که در تهیه نقشه رقومی خاک، برای حصول اطمینان از صحت تعیین نتایج اندازه‌گیری‌های آزمایشگاهی نمونه‌های خاک به مناطق مشابه، می‌توان از متغیرهای محیطی مدل رقومی ارتفاع، شب، VDCN، CNBL، شکل زمین، بافت خاک، عمق دره، شاخص همگرایی، TWI، MRRTF، MRVBF، زهکش، شاخص کانال و شاخص درخشندگی استفاده کرد؛ این موارد داده‌های کمکی مطلوب در مطالعات خاک‌شناسی، در محدوده جغرافیایی استان تهران، محسوب می‌شوند. همچنین باندهای ۲، ۳، ۴ و ۸ بهترین باندهای تصاویر ماهواره‌ای لندست-۸ سنجنده OLI\_TIRS برای ارزیابی متغیرهای محیطی‌اند.

#### - منابع

- Adhikari, K., Kheir, R., Greve, M., Bøcher, P., Malone, B., Minasny, B., McBratney, A. & Greve, M., 2013, **High-Resolution 3-D Mapping of Soil Texture in Denmark**, Soil Sci. Soc. Am. J., 77, PP. 860-876, doi.org/10.2136/sssaj2012.0275.
- Amirian-Chakan, A., Minasny, B., Taghizadeh-Mehrjardi, R., Akbarifazli, R., Darvishpasand, Z. & Khordehbin, S., 2019, **Some Practical Aspects of Predicting Texture Data in Digital Soil Mapping**, Soil and Tillage Research, 194, P. 104289.
- Bishop, M.P., Shroder Jr., J.F. & Colby, J.D., 2003, **Remote Sensing and Geomorphometry for Studying Relief Production in High Mountains**, Geomorphology, 55(1-4), PP. 345-361.
- Bishop, M.P., James, L.A., Shroder Jr., J.F. & Walsh, S.J., 2012, **Geospatial Technologies and Digital Geomorphological Mapping: Concepts, Issues and Research**, Geomorphology, 137(1), PP. 5-26.

- Forkuo, E.K. & Nketia, A.K., 2011, **Digital Soil Mapping in GIS Environment for CropLand Suitability Analysis**, International journal of Geomatics and Geosciences, 2(1), PP. 133-146.
- Fu, W., Zhao, K., Tunney, H. & Zhang, C., 2013, **Using GIS and Geostatistics to Optimize Soil Phosphorus and Magnesium Sampling in Temperate Grassland**, Soil Science, 178(5), PP. 240-247, doi:10.1097/ss.0b013e31829d463b.
- Gallant, J.C. & Dowling, T.I., 2003, **A Multi Resolution Index of Valley Bottom Flatness for Mapping Depositional Areas**, Water Resources Research, 39, PP. 1347-1360.
- Gao, B., Pan, Y., Chen, Z., Wu, F., Ren, X. & Hu, M., 2016, **A Spatial Conditioned Latin Hypercube Sampling Method for Mapping Using Ancillary Data**, Transactions in GIS, 20(5), PP. 735-754.
- Godinho Silva, S.H., Owens, P.R., Silva, B.M., César de Oliveira, G., Duarte de Menezes, M., Pinto, L.C. & Curi, N., 2015, **Evaluation of Conditioned Latin Hypercube Sampling as a Support for Soil Mapping and Spatial Variability of Soil Properties**, Soil Science Society of America Journal, 79(2), PP. 603-611.
- Guo, L., 2018, **Exploring the Sensitivity of Soil Sample Numbers in Digital Soil Mapping and then Choosing a Suitable Soil Sampling Plan**, Journal of Remote Sensing & GIS, 07, DOI:10.4172/2469-4134-c2-014.
- Jochem, A., Wichmann, V. & Hofle, B., 2010, **Large Area Point Cloud Based Solar Radiation Modeling**, Hamburger Beiträge zur Physischen Geographie und Landschaftsökologie, 21, P. 20.
- Kaneda, H. & Chiba, T., 2019, **Stereopaired Morphometric Protection Index Red Relief Image Maps (Stereo MPI-RRIMs): Effective Visualization of High-Resolution Digital Elevation Models for Interpreting and Mapping Small Tectonic Geomorphic Features**, Bulletin of the Seismological Society of America, 109(1), PP. 99-109.
- Köthe, R. & Bock, M., 2006, **Development and Use in Practice of SAGA Modules for High Quality Analysis of Geodata**, Free And Open Gis-Saga-Gis, 115, PP. 85-96.
- Lacoste, M., Mulder, V., de Forges, A.R., Martin, M. & Arrouays, D., 2016, **Evaluating Large-Extent Spatial Modeling Approaches: A Case Study for Soil Depth for France**, Geoderma Regional, 7, PP. 137-152, doi.org/10.1016/j.geodrs.2016.02.006.
- Li, J., Heap, A.D., Potter, A. & Daniell, J.J., 2011, **Application of Machine Learning Methods to Spatial Interpolation of Environmental Variables**, Environ. Modell. Softw., 26, PP. 1647-1659, doi.org/10.1016/j.envsoft.2011.07.004.
- Liess, M., Glaser, B. & Huwe, B., 2012, **Uncertainty in the Spatial Prediction of Soil Texture. Comparison of Regression Tree and Random Forest Models**, Geoderma, 170, PP. 70-79, doi.org/10.1016/j.geoderma.2011.10.010.
- Malone, B.P., Minansy, B. & Brungard, C., 2019, **Some Methods to Improve the Utility of Conditioned Latin Hypercube Sampling**, PeerJ, 7, P. e6451.
- Maynard, J.J. & Levi, M.R., 2017, **Hyper-Temporal Remote Sensing for Digital Soil Mapping: Characterizing Soil-Vegetation Response to Climatic Variability**, Geoderma, 285, PP. 94-109, doi.org/10.1016/j.geoderma.2016.09.024.
- Metternicht, G.I. & Zinck, J.A., 2003, **Remote Sensing of Soil Salinity: Potentials and Constraints**, Remote Sensing of Environment, 85, PP. 1-20.
- Mulder, V., Lacoste, M., de Forges, A.R. & Arrouays, D., 2016, **Global Soil Map France: High-Resolution Spatial Modelling the Soils of France up to Two Meter Depth**, Sci. Total Environ., 573, PP. 1352-1369, doi.org/10.1016/j.scitotenv.2016.07.066.
- Ngu, N.H., Trung, N.H., Shinjo, H., Chotpantarat, S. & Thanh, N.N., 2025, **Improving Spatial Prediction of Soil Organic Matter in Central Vietnam Using Bayesian-Enhanced Machine Learning and Environmental Covariates**, Archives of Agronomy and Soil Science, 71(1), PP. 1-17.
- Nield, S.J., Boettner, J.L. & Ramsey, R.D., 2007, **Digital Mapping Gypsic and Nitric Soil Areas Using Landsat ETM Data**, Soil Science Society of America Journal, 71, PP. 245-252.
- Nussbaum, M., Spiess, K., Baltensweiler, A., Grob, U., Keller, A., Greiner, L. & Papritz, A.J., 2018, **Evaluation of Digital Soil Mapping Approaches with Large Sets of Environmental Covariates**, Soil, 4(1), PP. 1-22.
- Parmar, S., 2019, **Morphometry Analysis Using SAGA GIS: A Case Study of Watershed-63 of Narmada River, Gujarat, India**, Journal of Engineering Research and Application, (2).

- Somarathna, P., Malone, B. & Minasny, B., 2016, **Mapping Soil Organic Carbon Content over New South Wales, Australia Using Local Regression Kriging**, Geoderma Regional, 7, PP. 38-48, doi.org/10.1016/j.geodrs.2015.12.002.
- Szatmári, G., Barta, K. & Pásztor, L., 2015, **An Application of a Spatial Simulated Annealing Sampling Optimization Algorithm to Support Digital Soil Mapping**, Hungarian Geographical Bulletin, 64(1), PP. 35-48.
- Taghizadeh-Mehrjardi, R., 2015, **Determining Spatial Sampling Pattern Using Different Methods (Case Study: Taft County)**, Agricultural Engineering (Agricultural Scientific Journal), 38(2), PP. 19-36.
- Taghizadeh- Mehrjardi, R., Minasny, B., Sarmadian, F. & Malone, B.P., 2014, **Digital Mapping of Soil Salinity in Ardakan Region, Central Iran**, Geoderma, 213, PP. 15-28.
- Taghizadeh-Mehrjardi, R., Nabiollahi, K. & Kerry, R., 2016, **Digital Mapping of Soil Organic Carbon at Multiple Depths Using Different Data Mining Techniques in Baneh Region, Iran**, Geoderma, 266, PP. 98-110, doi.org/10.1016/j.geoderma.2015.12.003.
- Vaysse, K. & Lagacherie, P., 2015, **Evaluating Digital Soil Mapping Approaches for Mapping GlobalSoilMap Soil Properties from Legacy Data in Languedoc-Roussillon (France)**, Geoderma Regional, 4, PP. 20-30, doi.org/10.1016/j.geodrs.2014.11.003.
- Weber, D., Rüetschi, M., Small, D. & Ginzler, C., 2020, **Grossflächige Klassifikation von Gebüsch Wald mit Fernerkundungsdaten**, Schweizerische Zeitschrift für Forstwesen, 171(2), PP. 51-59.
- Were, K., Bui, D.T., Dick, Ø.B. & Singh, B.R., 2015, **A Comparative Assessment of Support Vector Regression, Artificial Neural Networks, and Random Forests for Predicting and Mapping Soil Organic Carbon Stocks Across an Afromontane Landscape**, Ecol. Indic., 52, PP. 394-403, doi.org/10.1016/j.ecolind.2014.12.028.
- Zawawi, A.A., Shiba, M. & Jemali, N.J.N., 2014, **Landform Classification for Site Evaluation and Forest Planning: Integration between Scientific Approach and Traditional Concept**, Sains Malaysiana, 43(3), PP. 349-358.
- Zeinali, M., Jafarzadeh, A.A., Shahbazi, F. & Ostan, Sh., 2016, **Evaluation of Surface Soil Salinity Using Pixel-Based Method Based on TM Sensor Data (Case Study: Lands East of Khoy County- West Azerbaijan Province)**, Journal of Geographic Information Sepehr, 25(99), PP. 127-139.